

Ⅳ-10 人工的乱れを与えた時の塩水楔の挙動について

東大工学部 正宜 鳩祐立
○東大工学部 正宜 雅賀博美

1. 概説

人工的乱れを流れに与えた流流的現象を実験室の中で再現しようとすら試みがなされたのは、それほど古いことではない。その代表的なものは、数年前にMITで、Iijima や Harleman によって行われた一連の研究に見られるように、金属スクリーンを開水路中の構造的に振動させ、前方の拡散を一次元的に追跡するものであった。これは非常に優れた着想であったとはいって、もしもスケールがあまりにも大きすぎて、色々と不便な点が少なくてはならなかった。筆者等はむしろ水中に放射して人工的乱れを流れに与えることを考へ、実験を行つてみた。その結果一部はすでに2日の水理講演会で発表したが、ここでは人工乱れと自然の乱れの相似性について考察を加え、その応用例として塩水楔に人工乱れを与えた時の挙動について述べる。

2. 人工乱れの相似性について

i) エネルギーの吸収

この実験に用いた超音波は水路底より水中に放出された形式のものである。底面及ぶ水面上からどの程度吸収されるかということはエネルギーの逸散(衰滅)の距離と重量はことなる。まず、水中にキャビテーションを生じた時は、水中の超音波の吸収は、 $\alpha = \alpha_0 e^{-\lambda y}$ となる。ここに、 α_0 : 発生源での振幅 y : 発生源よりの距離、 λ : 吸收係数 である。古典理論によると、 λ は直ちに求められて⁽¹⁾

$$\lambda = \frac{2}{3} \frac{\mu}{P} \frac{\omega^2}{V^3} \quad (1)$$

で与えられる。 μ : 粘性係数、 P : 流体密度、 ω : 角振動数 ($2\pi \times$ 振動数)、 V : 音速、である。この値はどれ程大きいものではある。今、用いた超音波は 2MHz の振動数を有しているので、 $V = 1.48 \times 10^5 \text{ cm/s}$ とすれば、 $\lambda = 3.3 \cdot 0.01 \cdot (2\pi \times 2 \times 10^6) / (1.48 \times 10^5)^3$

$\approx 6 \times 10^{-9}$ となるから、これはのちに述べる空気泡の発生による吸収よりもはるかに大きい。

YRに水中において気泡が発生したときは、(水中に放出された超音波のエネルギーがおも限度を越えるとキャビテーションを水中に生じさせると) 吸收係数は次式で与えられる⁽²⁾。

$$\alpha_d = \frac{2\pi}{9} \frac{d^6}{V^4} \omega^4 \left(\frac{\kappa'}{\kappa}\right)^2 n \quad (2)$$

d: 空気泡の半径、 κ' : 空気の断熱圧縮率、 κ : 木の断熱圧縮率、n: 単位体积中の気泡の数である。 $\kappa'/\kappa \approx 3 \times 10^3$ であるから、 $\alpha_d \approx 1.1 \times 10^{-3} \text{ m}^{-1}$ (C.G.S. 単位) となる。音のエネルギーは振幅の自乗に比例するから、1は比ベロメの小ささで展開すると、 $1/\alpha_d$ の直は、

$$\frac{\alpha^2}{\alpha_d^2} = e^{-2\lambda y} \approx 1 - 2\lambda y \quad (3)$$

となる。従つて水の受けたエネルギーの量は、 $2\lambda y$ に比例する。これは、開水路において断面力の分布が、水面から水面に向つて直線的に減少することと、おも程度相似である。なお

(3) 式で $n = 10$, $d = 0.1 \text{ cm}$ とすると, $\alpha_d = 1.41 \times 10^{-2}$ となり, α に比べて非常に大きい。

II) その他

超音波のエネルギーの吸収は、この他に、分子的な吸収も存在するが、海水と淡水程度の濃度差へ達すれば、それらはそれほど大きなものではないので、無視できる。

3. 塩水楔の運動

上記のように、超音波を用ひて、ある程度、人工的に流れを得られることがわかったので、これを塩水楔の現象に適用してみたところ以下の結果を得る。

図1には概念図を示す。Sは超音波発振器である。木路底に設置してある。超音波を水中に放射していく時には、実線のように塩水楔が形成されていても、超音波によってエネルギーを流れに与えると、実線が示したように、塩水楔はくだけながら後退し、いわゆる複合型の流れになる。このことは、乱れのある場合の拡散の方程式、すなわち、

$$\frac{\partial C}{\partial t} + V \cdot \nabla C = D \alpha, \quad \alpha: \text{turbulent diffusion vector} (= -C'V') \quad (4)$$

$C: \text{濃度(質量\%)} \quad \text{例 } Q = 193 \text{ g}$

において、 $D\alpha$ が増大するのに、 $V \cdot \nabla C$ の値が増加し、速度ベクトル V と、等濃度曲線とのなす角度が増大することに相当する。

図2には、等濃度曲線の到達距離と、超音波のエネルギーの時の S は塩水楔の長さをあらわす。^{エネルギー}は、超音波発振器のプローブ距離によつて示してある。実線と実線の距離の近いほど、塩水楔に近いことを示す。この実験結果からは、乱れが増加しても、ある程度塩分を拡散しながら、海水全体として塩水楔的な運動、すなわち、ほぼ一様に裏側に向つて後退するといふことが、なるようであるが、なお、この点につけては研究する必要がある。本研究は文部省科学研究費の援助を受けた。深く感謝する次第である。

4. 結論

超音波による乱流モデルがもし妥当ならば、塩水楔に乱れを与えた場合、拡散性いながらも、全体としては塩水楔的な運動を示すことか、はげしくめられ。

5. 参考文献

1. 能本: 超音波, 河出, 図23.

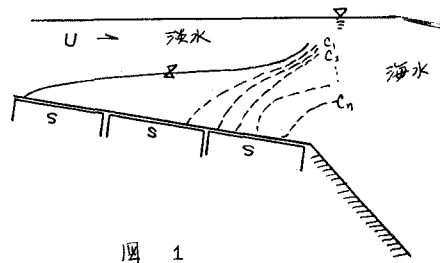


図 1

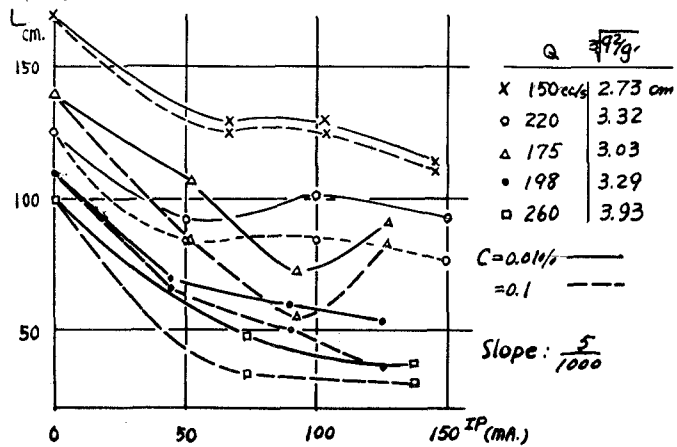


図 2.